

# Quantum Computation:

## Zusammenfassung der 3. Vorlesung (31.10.08)

### 1.2 Quantenrechner, unitäre Gatter

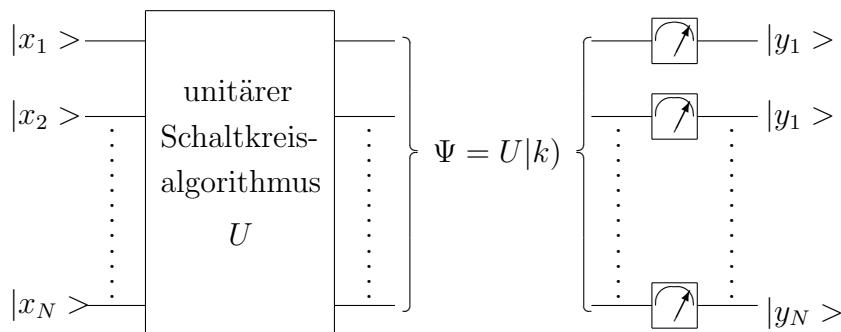
An die Stelle von Funktoren der Aussagenlogik treten bei Quantenrechnern unitäre Operatoren, weil die Manipulation der Qubitzustände durch äußere Wechselwirkungen der Schrödingerdynamik unterliegt. Die von 0 bis  $N - 1$  nummerierten Elemente der Computerbasis schreiben wir un der Form

$$|k\rangle = |x_1 2^{N-1} + x_2 2^{N-2} + \dots + 2^0 x_N\rangle = |x_1 x_2 \dots x_N\rangle .$$

Da die Schrödingerdynamik reversibel ist, muss im Gegensatz zu klassischen Rechnern die Anzahl  $N$  der eingegeben Qubits mit der Anzahl der resultierenden Qubits übereinstimmen. Eingegeben wird im Allgemeinen ein Zustand  $|k\rangle$ , der dem  $k$ -ten klassischen Wort entspricht. Das Ergebnis eines Rechnerlaufs wird durch Messung der Observablen

$$A = \sum_1^{N-1} k |k\rangle \langle k|$$

erhalten, das zufällig sein kann. Das Schema des Quantenrechners ist



#### 1.2.1 Elementare unitäre Gatter, Universalität

Wie bei klassischen Algorithmen, lassen sich auch die unitären Algorithmen mit elementaren, 1-Qubit- und 2-Qubitgattern erzeugen.

### 1.2.1.1 1-Qubitgatter

An die Stelle der vier klassischen monadischen Gatter tritt die vierdimensionale Gruppe der unitären  $\mathbf{C}^2$  Transformationen, die  $U(2)$ . Die dreidimensionale Untergruppe der Spindrehungen, die  $SU(2)$ , wird von den Paulimatrizen erzeugt. Die zugehörigen Gatter heißen Pauli-Gatter:

$$\begin{array}{ccc}
 \text{---} \boxed{X} \text{---} & \text{---} \boxed{Y} \text{---} & \text{---} \boxed{Z} \text{---} \\
 \sigma_x = \begin{pmatrix} 0 & 1 \\ 1 & 0 \end{pmatrix} & \sigma_y = \begin{pmatrix} 0 & -i \\ i & 0 \end{pmatrix} & \sigma_z = \begin{pmatrix} 1 & 0 \\ 0 & -1 \end{pmatrix}
 \end{array}$$

Sie stellen Spindrehungen mit dem Winkel  $\pi$  in positiver Richtung um die jeweilige Achse dar. Weitere ausgezeichnete Gatter sind:

$$\begin{array}{ccc}
 \text{Hadamard Gatter} & \text{Phasengatter} & \frac{\pi}{8} \text{-Gatter} \\
 \text{---} \boxed{H} \text{---} & \text{---} \boxed{S} \text{---} & \text{---} \boxed{T} \text{---} \\
 H = \frac{1}{\sqrt{2}} \begin{pmatrix} 1 & 1 \\ 1 & -1 \end{pmatrix} & S = \begin{pmatrix} 1 & 0 \\ 0 & i \end{pmatrix} & T = \begin{pmatrix} 1 & 0 \\ 0 & e^{i\frac{\pi}{4}} \end{pmatrix}
 \end{array}$$

Weshalb das Phasengatter auch  $\frac{\pi}{4}$ -Gatter und  $T$  auch  $\frac{\pi}{8}$ -Gatter genannt wird, hat möglicherweise historische Gründe: Man kann diese Matrizen auch als  $SU(2)$  Matrizen mit dem entsprechenden Phasenfaktor schreiben. Wir werden diese Konvention bei der Definition des  $\frac{\delta}{2}$ -Gatters beibehalten.

$$\begin{array}{ccc}
 \frac{\delta}{2} \text{-Gatter} & \text{allg. Spindrehung} & \text{Torusgatter} \\
 \text{---} \boxed{\frac{\delta}{2}} \text{---} & \text{---} \boxed{R_{\vec{e}}(\varphi)} \text{---} & \text{---} \boxed{Z} \text{---} \\
 \begin{pmatrix} 0 & 1 \\ 0 & e^{i\delta} \end{pmatrix} & R_{\vec{e}}(\varphi) = e^{-i\frac{\varphi}{2}(\vec{e} \cdot \vec{\sigma})} & e^{i\alpha} \begin{pmatrix} 1 & 0 \\ 0 & 1 \end{pmatrix}
 \end{array}$$

Aufsummiert ergibt die Exponentialreihe

$$R_{\vec{e}}(\varphi) = \cos\left(\frac{\varphi}{2}\right)\mathbf{1} - i \sin\left(\frac{\varphi}{2}\right)(\vec{e} \cdot \vec{\sigma}).$$

Mit Hilfe der Formel

$$(\vec{x} \cdot \vec{\sigma})(\vec{y} \cdot \vec{\sigma}) = (\vec{x} \cdot \vec{y})\mathbf{1} + i(\vec{x} \times \vec{y}) \cdot \vec{\sigma}$$

berechnet man

$$R_{\vec{e}}(\varphi) \frac{1}{2}(\mathbf{1} + \vec{r} \cdot \vec{\sigma}) R_{\vec{e}}^+(\varphi) = \frac{1}{2}(\mathbf{1} + \vec{s} \cdot \vec{\sigma}),$$

wobei

$$\vec{s} = \cos(\varphi)(\vec{r} - (\vec{e} \cdot \vec{r})\vec{e}) + \sin(\varphi)(\vec{e} \times \vec{r}) + (\vec{e} \cdot \vec{r})\vec{e}$$

ist. Bedenkt man, dass die drei Vektoren  $\vec{e}$ ,  $(\vec{r} - (\vec{e} \cdot \vec{r})\vec{e})$ , und  $(\vec{e} \times \vec{r})$  paarweise orthogonal sind und in dieser Reihenfolge ein rechtsorientiertes System bilden, und ferner, dass  $\|\vec{r} - (\vec{e} \cdot \vec{r})\vec{e}\| = \|\vec{e} \times \vec{r}\| = r \sin(\Theta)$  gilt, dann sieht man leicht, dass der Blochvektor eine Drehung in positiver Richtung um die  $\vec{e}$ -Achse mit dem Winkel  $\varphi$  erfährt. Das ist natürlich, denn auch bei einem statistischen Gemisch unterliegen die Komponenten einer reinen Zerlegung der Spindrehung.

**Folgerung:** Jedes Element der  $U \in U(2)$  kann mit den Eulerschen Winkeln  $(\Phi, \Theta, \Psi)$  und einem Phasenfaktor  $e^{i\alpha}$  in der Form

$$U = e^{i\alpha} R_{\vec{e}'_z}(\Psi) R_{\vec{e}'_x}(\Theta) R_{\vec{e}_z}(\Phi),$$

wobei  $\vec{e}'$  in die Richtung der neuen  $x$ -Achse nach der ersten Drehung und  $\vec{e}''_z$  in die der neuen  $z$ -Achse nach der zweiten Drehung weist. Mit der natürlichen Basis  $\{\vec{e}_x, \vec{e}_y, \vec{e}_z\}$  im  $\mathbf{R}^3$  der Blochkugel ist

$$U_{ij} = e^{i\alpha} (R_z(\Psi) R_x(\Theta) R_z(\Phi))_{ij},$$

mit den entsprechenden  $\mathbf{C}^2$ - Matrizen der Spindrehungen.

Man schließt nun auf den folgenden Satz, mit dem wir weiter unten zeigen werden, dass die 1-Qubitgatter zusammen mit einem bestimmten 2-Qubitgatter bereits eine universelle Menge elementarer Gatter bilden.

**Satz:** Sei  $U \in U(2)$ , dann gibt es Spindrehungen  $A$ ,  $B$  und  $C$  und einen Phasenfaktor  $e^{i\alpha}$ , so dass

$$ABC = \mathbf{1} \quad \text{und} \quad e^{i\alpha} A\sigma_x B\sigma_x C = U$$

gelten.

**Beweis:** Die Gleichung  $ABC = \mathbf{1}$  wird offensichtlich von

$$A := R_z(\Psi)R_y\left(\frac{\Theta}{2}\right), \quad B := R_y\left(-\frac{\Theta}{2}\right)R_z\left(-\frac{\Psi + \Phi}{2}\right), \quad C := R_z\left(-\frac{\Psi - \Phi}{2}\right)$$

erfüllt. Ferner gilt

$$\sigma_x B\sigma_x = \sigma_x R_y\left(-\frac{\Theta}{2}\right)\sigma_x \sigma_x R_z\left(-\frac{\Psi + \Phi}{2}\right)\sigma_x = R_y\left(\frac{\Theta}{2}\right)R_z\left(\frac{\Psi + \Phi}{2}\right),$$

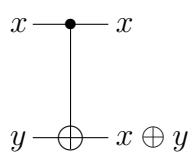
denn  $\sigma_x$  stellt eine Spindrehung mit dem Winkel  $\pi$  um die  $x$ -Achse der Blochkugel dar, die  $\vec{e}_y \mapsto -\vec{e}_y$  und  $\vec{e}_z \mapsto -\vec{e}_z$  zur Folge hat. Rechnerisch kann man das auch mit

$$\sigma_x R_y\left(-\frac{\Theta}{2}\right)\sigma_x = \sigma_x e^{i\frac{\Theta}{4}\sigma_y}\sigma_x = e^{i\sigma_x\frac{\Theta}{4}\sigma_x\sigma_y\sigma_x} = e^{-i\sigma_x\frac{\Theta}{4}\sigma_y} = R_y\left(\frac{\Theta}{2}\right)$$

und entsprechend für  $R_z$  bestätigen. Die behauptete Gleichung  $e^{i\alpha} A\sigma_x B\sigma_x C = U$  folgt dann unmittelbar.

### 1.2.1.2 2-Qubitgatter

Bei gesteuerten Gattern werden ein oder mehrere Bits, die dabei unverändert bleiben, dazu benutzt, um einen Algorithmus zu steuern. Der einfachste Fall ist die gesteuerte Negation:

	<table style="border-collapse: collapse; text-align: center;"> <thead> <tr> <th style="border-right: 1px solid black; border-bottom: 1px solid black; padding: 5px;"><math>xy</math></th> <th style="border-bottom: 1px solid black; padding: 5px;"><math>xz</math></th> <th style="padding: 5px;"></th> </tr> </thead> <tbody> <tr> <td style="border-right: 1px solid black; padding: 5px;">0</td> <td style="padding: 5px;">00</td> <td style="padding: 5px;">00</td> </tr> <tr> <td style="border-right: 1px solid black; padding: 5px;">1</td> <td style="padding: 5px;">01</td> <td style="padding: 5px;">01</td> </tr> <tr> <td style="border-right: 1px solid black; padding: 5px;">2</td> <td style="padding: 5px;">10</td> <td style="padding: 5px;">11</td> </tr> <tr> <td style="border-right: 1px solid black; padding: 5px;">3</td> <td style="padding: 5px;">11</td> <td style="padding: 5px;">10</td> </tr> </tbody> </table>	$xy$	$xz$		0	00	00	1	01	01	2	10	11	3	11	10	$\left( \begin{array}{cccc} 0 & 1 & 2 & 3 \\ 0 & 1 & 3 & 2 \end{array} \right) = (23)$
$xy$	$xz$																
0	00	00															
1	01	01															
2	10	11															
3	11	10															

*CNOT*

*Wahrheitstabelle*

*erzeugte Permutation*

Dieses Gatter ist offenbar reversibel und erzeugt die Transposition (23) in der Permutationsgruppe  $S_4$ . Auf die Basiselemente der Computerbasis angewen-

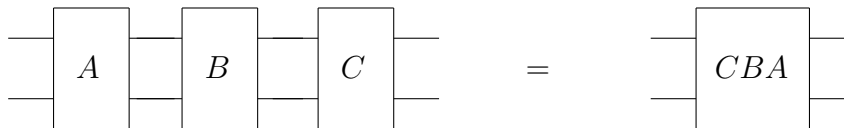
det, entsteht das unitäre *CNOT*-Gatter:

$$\begin{array}{c} \text{---} \\ \text{---} \end{array} \boxed{\text{CNOT}} \begin{array}{c} \text{---} \\ \text{---} \end{array} \quad (|0\rangle |1\rangle |2\rangle |3\rangle) \begin{pmatrix} 1 & 0 & 0 & 0 \\ 0 & 1 & 0 & 0 \\ 0 & 0 & 0 & 1 \\ 0 & 0 & 1 & 0 \end{pmatrix} \begin{pmatrix} |0\rangle \\ |1\rangle \\ |2\rangle \\ |3\rangle \end{pmatrix}$$

Es erzeugt im  $\mathbf{C}^2$  die Transformation

$$\Psi = (|0\rangle |1\rangle |2\rangle |3\rangle) \begin{pmatrix} c_0 \\ c_1 \\ c_2 \\ c_3 \end{pmatrix} \mapsto (|0\rangle |1\rangle |2\rangle |3\rangle) \begin{pmatrix} 1 & 0 & 0 & 0 \\ 0 & 1 & 0 & 0 \\ 0 & 0 & 0 & 1 \\ 0 & 0 & 1 & 0 \end{pmatrix} \begin{pmatrix} c_0 \\ c_1 \\ c_2 \\ c_3 \end{pmatrix},$$

so dass für das Zusammensetzen von Gattern in Schaltkreisen die Rechenregel



gilt. Eine weitere gesteuerte Negation ist:

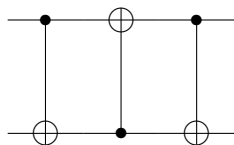
$$\begin{array}{c} x \text{---} \oplus \text{---} x \oplus y \\ | \\ y \text{---} \bullet \text{---} y \end{array} \quad \begin{array}{c|c|c|c} xy & zy & & \\ \hline 0 & 00 & 00 & 0 \\ 1 & 01 & 11 & 3 \\ 2 & 10 & 10 & 2 \\ 3 & 11 & 01 & 1 \end{array} \quad \begin{pmatrix} 0 & 1 & 2 & 3 \\ 0 & 3 & 3 & 1 \end{pmatrix} = (13)$$

*CNOT'*                      *Wahrheitstabelle*                      *erzeugte Permutation*

in der Computerbasis wird sie durch die Permutationsmatrix

$$\begin{pmatrix} 1 & 0 & 0 & 0 \\ 0 & 0 & 0 & 1 \\ 0 & 0 & 1 & 0 \\ 0 & 1 & 0 & 0 \end{pmatrix}$$

dargestellt. Man rechnet leicht nach, dass die Matrix zur folgenden Kombination von *CNOT*-Gattern

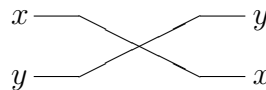


$$\begin{pmatrix} 1 & 0 & 0 & 0 \\ 0 & 0 & 1 & 0 \\ 0 & 1 & 0 & 0 \\ 0 & 0 & 0 & 1 \end{pmatrix}$$

*SWAP*

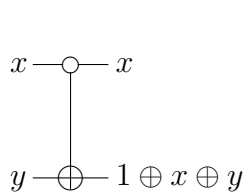
ist. Dabei kann man eine Regel für die Multiplikation mit Permutationsmatrizen ausnutzen: Sei  $P$  eine Permutationsmatrix, d.h. in jeder Zeile sowie in jeder Spalte stehen außer Nullen genau eine Eins, und  $A$  eine andere Matrix. Bei Linksmultiplikation mit  $P$  werden lediglich die Zeilen von  $A$  permutiert, bei Rechtsmultiplikation lediglich die Spalten. Die betrachtete Gatterkombination erzeugt die Transposition (12). An der Wahrheitwerttabelle sieht man, dass dies einer Vertauschung der Qubits gleichkommt, wodurch der Name gerechtfertigt wird:

$xy$	$yx$	
0	00	0
1	01	2
2	10	1
3	11	3



*SWAP*

Eine weitere Version der gesteuerten Verneinung entsteht dadurch, dass die Verneinung durch 0 ausgelöst wird:



$xy$	$xz$	
0	00	1
1	01	0
2	10	2
3	11	3

$$\begin{pmatrix} 0 & 1 & 0 & 0 \\ 1 & 0 & 0 & 0 \\ 0 & 0 & 1 & 0 \\ 0 & 0 & 0 & 1 \end{pmatrix}$$

*CNOT*

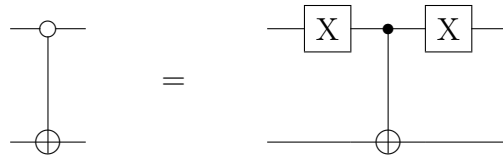
*Wahrheitwerttabelle*

*Permutationsmatrix*

Die vorstehenden Versionen der gesteuerten Verneinung mit ihrer Kombination zum *SWAP*-Gatter enthalten die drei Transpositionen benachbarter

Elemente von  $(0\ 1\ 2\ 3)$ . Damit können alle Permutationen der  $S_4$  bzw. die 24  $(4 \times 4)$ -Permutationsmatrizen erzeugt werden.

Nun gilt offenbar:



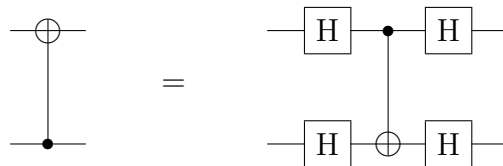
Ferner folgt mit

$$H \otimes H = \frac{1}{\sqrt{2}} \begin{pmatrix} H & H \\ H & -H \end{pmatrix},$$

dass

$$\begin{aligned} & \frac{1}{2} \begin{pmatrix} H & H \\ H & -H \end{pmatrix} \begin{pmatrix} \mathbf{1} & \mathbf{0} \\ \mathbf{0} & X \end{pmatrix} \begin{pmatrix} H & H \\ H & -H \end{pmatrix} = \\ & \frac{1}{2} \begin{pmatrix} H & H \\ H & -H \end{pmatrix} \begin{pmatrix} H & H \\ \frac{1}{\sqrt{2}} \begin{pmatrix} 1 & -1 \\ 1 & 1 \end{pmatrix} & \frac{1}{\sqrt{2}} \begin{pmatrix} H & H \\ -1 & 1 \\ -1 & -1 \end{pmatrix} \end{pmatrix} = \begin{pmatrix} 1 & 0 & 0 & 0 \\ 0 & 0 & 0 & 1 \\ 0 & 0 & 1 & 0 \\ 0 & 1 & 0 & 0 \end{pmatrix} \end{aligned}$$

gilt. Also gilt ferner:



Bis hierher zusammenfassend, können wir den folgenden Satz behaupten.

**Satz:** Mit den 1-Qubitgattern  $X$ ,  $H$  und dem 2-Qubitgatter  $CNOT$  können alle  $(4 \times 4)$  Permutationsmatrizen erzeugt werden.

Die Aussage des Satzes ist von großer Bedeutung für die Implementation beliebiger unitärer Matrizen mitelementaren Gattern. Sie zeigt auch, dass reversiblen klassischen Gattern unitäre Quantengatter entsprechen.